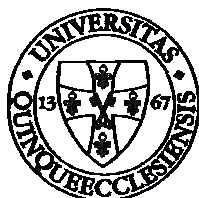


CYTOGENETIKAI VIZSGÁLATOK GYERMEKKORI
IMMUNOLÓGIAI ÉS GASTROINTESTINÁLIS
BETEGSÉGEKBEN ÉS MALFORMATIÓKBAN

Doktori (PhD) értekezés tézisei

DR. TÁRNOK ANDRÁS



Pécsi Tudományegyetem,
Gyermekegyógyászati Klinika

2009.

**CYTOGENETIKAI VIZSGÁLATOK GYERMEKKORI
IMMUNOLÓGIAI ÉS GASTROINTESTINÁLIS
BETEGSÉGEKBEN ÉS MALFORMATIÓKBAN**

Doktori (PhD) értekezés tézisei

Dr. Tárnok András

Pécsi Tudományegyetem,
Gyermekegyógyászati Klinika

Programvezető: Prof. Dr. Molnár Dénes

Tutor:

Prof. Dr. Méhes Károly

2009.

RÖVIDÍTÉSEK

CSI	Centromere Separation Index = Centroméra Szétválási Index
EMA	Endomysium-ellenes antitest
GI	Gastrointestinális
ID	Immundeficiencia
IgA	Immunglobulin A
PCD	Premature Centromere Division = korai centroméra-szétválás
SCE	Sister Chromatid Exchange = testvérkromatida-kicserélődés

BEVEZETÉS

Az eukaryóta sejt mitotikus osztódásakor két azonos leánysejt jön létre. A sejtosztódás S fázisában a kromoszómák megkettőződnek, majd a profázisban kondenzálódnak. Mindegyik kromoszóma két identikus kromatidából áll, melyeket a centroméra tart össze. A prometáfázisban és a metafázisban a kromoszómák a sejt egyenlítői síkjában helyezkednek el és az osztódási orsó húzófonalai a centromérákhoz kapcsolódó kinetochorokhoz tapadnak. Az anafázisban a centromérák szétválnak és az elvált testvérkromatidákat a húzófonalak a sejt két ellentétes pólusára juttatják. A sejtosztódás végére az eredeti sejttel megegyező genetikai állományú két leánysejt keletkezik.

Standard karyotípus elkészítéséhez bármilyen metafázisos sejteket tartalmazó, osztódni képes sejtpopuláció szükséges. Legtöbbször a vér lymphocytáit használják, mivel ezek proliferációját könnyű indukálni, de egyéb szövetek is pl. bőr (fibroblastok), csontvelő, amnion folyadék, chorion-boholy stb. felhasználhatóak szükség esetén.

A karyotípus elkészítésének rutin módszere – rövid összefoglalás

1. A levett vérmintához heparint, hogy az alvadást meggátoljuk.
2. Centrifugálással a mononuclearis sejteket (lymphocyták és monocyták) elválasztjuk a vér egyéb alakos elemeitől
3. A mononuclearis sejteket mitogén hozzáadásával (pl. phytohemagglutinin, ami a lymphocyták proliferációját serkenti) 3-4 napig tenyésztjük
4. A mitózist metafázisban colchicinnel leállítjuk. A tenyésztési idő végén, amikor nagyszámú osztódó sejt észlelhető a colchicin az osztódási orsót tönkreteszi és megakadályozza, hogy a mitózis befejeződjön. Ezáltal a metafázisban levő sejtek aránya kifejezetten magas lesz.

5. A lymphocyták összegyűjtését követően rövid ideig tartó hypotonizálás következik. Ennek során a sejtek ozmotikus duzzadása következik be, mely nagymértékben elősegíti, hogy olyan preparátumokat készítsünk, melyben a kromoszómák nem fekszenek egymásra.
6. A duzzadt sejteket fixáljuk, majd tárgylemezre kicseppentjük (mely a kromoszómákat egy síkba rendezi) és megszárítjuk.
7. A tárgylemezeket különböző módon megfesthetjük. Sávozás hatására a kromoszómákon sávok jelennek meg, így a karyotípus összes kromoszómáját egyértelműen azonosítani lehet. Sávozás nélkül azonban egyes kromoszómák között lehetetlen különbséget tenni.
8. A sávozott tárgylemezeket átvizsgálva jól értékelhető mitózisokat keresünk (a kromoszómák sem túl rövidek, sem túl hosszúak és egymást sem fedik), melyeket lefényképezünk.
9. A képről kivágott egyes kromoszómákat karyotípusba rendezzük. Ezt a műveletet már számítógépes szoftverrel is végezhetjük. Hagyományos festést követően csak a főbb kromoszóma-csoportok különíthetőek el, míg sávozás esetén az összes kromoszóma egyértelműen párba állítható és megszámozható.

A kromoszómák mérete és alakja alapján az emberi szomatikus sejtek kromoszómái 7 csoportra és a nemi kromoszómákra oszthatóak.

Centroméra-szétválás

A sorrend létezése

A sejtosztódás egyik lényeges mozzanata az, amikor a kromoszómákat alkotó testvérkromatidák a centromeránál szétválnak és a leánysejtekbe vándorolnak. 1935-ben Aisenberg elsőként írta le, hogy ez a szétválás nem véletlenszerűen történik. A 70-es évek közepén Méhes és Vig egymástól függetlenül publikálta a centroméra-szétválás sorrendjét emberi leukocytákban. Feltűnő volt, hogy a 2-es, 17-es és 18-as kromoszóma korábban vált szét, míg az akrocentrikus kromoszómák esetén a szétválás még akkor sem indult meg, amikor az összes többi kromoszómánál ez már befejeződött. Később más munkacsoportok is bekapcsolódtak ebbe a kutatásba és a szétválást nemcsak különböző emberi sejtekben, hanem egyéb speciesekben is vizsgálták. Közleményeik az eredeti megfigyeléseket erősítették meg. A kutatások eredményeként az emberi centromérák szétválási sorrendjét sikerült meghatározni.

A centroméra-szétválás meghatározása

A centroméra-szétválás vizsgálatához több száz vagy ezer mitózis aprólékos analízise szükséges. A szétválás legjobban hagyományosan festett, nem sávozott kromoszómánál lehetséges, ugyanakkor sávozás szükséges a kromoszómák biztonságos azonosításához. Olyan késői metafázisok keresése,

melyekben a szétválás jól látható, de a kromoszómák még biztonsággal azonosíthatóak kifejezetten nehéz és roppant időigényes. A fenti nehézségek mellett a centroméra-szétválás szubjektív megítélése is szintén hozzájárul a sorrend megállapításának bonyolultságához.

A szétválási sorrend meghatározása 2 módszer segítségével történhet:

1. Premature Centromere Division (PCD, korai centroméra-szétválás): Méhes módszerével elsősorban az idő előtti szétválásra való hajlam mutatható ki. Az értékelés során csak azokat a mitózisokat vesszük figyelembe, ahol legfeljebb 3 kromoszóma vált szét. Szétválásnak azt tekintjük, ha a mikroszkópos vizsgálatkor a két testvérkromatida között semmilyen összeköttetést nem találunk. Nagyszámú mitózisban az egyes kromoszómákban észlelt szétválások számát elosztva a „random” eloszlást feltételezve várt értékkel, a kapott szám kifejezi az adott kromoszóma korai szeparációra való hajlamát. („Várt érték” a 100 mitózisban észlelt összes szétválás száma osztva huszonhárommal.)

2. Vig vezette be a Centromere Separation Index (CSI, Centroméra Szeparációs Index) nevű értékelő módszert, amely szerint a kromoszómákat a szétválás relatív mértéke szerint osztályozzuk. A módszer szerint 0 pontot kap az a kromoszóma, ahol a szétválás jelei nem észlelhetők, 1 pontot, ahol a testvérkromatidák egymástól eltávolodtak, de még finom szálcás összeköttetés látható köztük, és 2 pontot ahol a kromatidák már teljesen elhagyták egymást.

A CSI-t úgy számítjuk ki, hogy a legmagasabb pontszámot elért kromoszómapár értékével, mint egységgel elosztjuk a többiek pontszámát, és így megkapjuk azok relatív értékét. CSI értékei 0-1 között mozognak; a legkoraibb szétváló így értelemszerűen 1 ponttal rendelkezik. Minél nagyobb egy kromoszóma CSI-je, annál korábbi centroméra-szeparáció figyelhető meg esetében.

Az értékelési nehézségek ellenére különböző laboratóriumokban végzett ismételt vizsgálatok alapján igazoltnak és elfogadottnak tekinthető, hogy ez emberi sejtek mitózisaiban a metafázis végén a különböző kromoszómák szétválása nem véletlenszerűen történik.

A sorrend élén a 18. és 2. kromoszómák vannak, ezeket követi a 4-5., X, 12., 3. 17. pár, késői szétválóak az 1., 7., 8., 9., 11., 16. kromoszómák, míg a sort a nagy akrocentrikusok (13-15) zárják.

Minél szélsőségesebb egy kromoszóma helyzete, annál megbízhatóbban állapítható meg a sorrendben elfoglalt helye, a rangsor közepén viszont fokozottan kell számolni a szubjektivitásból eredő bizonytalansággal.

A szétválási sorrend állandósága

Különböző élőlényekben a szétválást vizsgálva a speciesre jellemző szekvenciát találtak. Az eddigi vizsgálatok alapján a sorrendet NEM BEFOLYÁSOLJA:

A kromoszóma hossza, a centroméra helyzete, a heterokromatikus rész nagysága, a tenyésztés időtartama vagy hőmérséklete, a táptalaj, a colchicin kezelés, a hypotonizálás változtatása, gyógyszerek, sugárzás és az egyed neme.

Az életkor szerepe nem tisztázott még. A fajspecifititás és a nagyfokú állandóság alapján úgy tűnik, hogy a szétválás sorrendje genetikailag meghatározott jelenség, melyet az eddigi kísérletek során exogén faktorokkal befolyásolni nem sikerült.

A szétválási sorrend és kóros állapotok – rövid összefoglalás

Közismert, hogy minden olyan hatás, amely osztódáskor éri a sejtet a kromoszómák sérülését okozhatja, vándorlásukban, párosodásukban zavart idézhet elő. Az ilyenkor bekövetkező kromoszóma-rendellenesség latens vagy manifeszt betegség alapja lehet, amely számos esetben öröklődhet is.

- 1) **Aneuploidia:** A centroméra-szétválás sorrendjének megváltozása non-disjunctio révén aneuploidiahoz vezethet. Triszómiás gyermekek és szüleik vizsgálata során a kérdéses kromoszómák esetén nagyobb gyakorisággal írtak le túl korai, vagy késői esetleg hiányzó szétválást.
- 2) **Strukturális rendellenességek:** A kromoszómák szerkezeti rendellenességeiben is jelentkezhet túl korai vagy túl késői szétválás. Nemcsak a deléciós (13q14) vagy transzlokációs (3p:19q) kromoszómák idő előtti szétválását, hanem D csoportú kromoszómák fúziója során létrejött új kromoszóma túl késői szeparációját is leírták.
- 3) **Daganatképződés:** A kromoszóma aberrációknak alapvető szerepük van a rosszindulatú daganatok keletkezésében. Korábbi megfigyelések azt valószínűsítik, hogy a szétválási sorrend megváltozása mutagén hatást tükröz, és így a daganatkeletkezésben szerepet játszhat. A korai centroméra-szétválás, az aneuploidia, a mutagén ágensek, a kromoszóma törése, az immunológiai változások és a malignitás közötti kapcsolatrendszerre már korábban utaltak közlemények. Számos malignus megbetegedésben kimutatták a szétválási sorrend megváltozását.

CÉLKITŰZÉS

1. A centroméra-szétválás sorrendje befolyásolható-e, változtatható-e exogén faktoral, mint pl. a vanádium, ami köztudottan befolyásolja a sejtosztódást;
2. a centroméra-szétválás vizsgálatához objektív módszer bevezetése;
3. kromoszóma rendellenességek és a korai centroméra-szétválás vizsgálata veleszületett immunhiányos gyermekekben;
4. kromoszóma törékenység és a korai centroméra-szétválás vizsgálata lisztérzékeny gyermekekben;
5. kromoszóma rendellenességek, társuló veleszületett fejlődési rendellenességek vizsgálata gastrointestinális fejlődési rendellenességben szenvedő újszülöttekben.

STATISZTIKAI ANALÍZIS

Minden statisztikai feldolgozásnál az Excel vagy az SPSS programot használtuk. Az átlagok közti különbségek szignifikanciáját Fisher, Chi-négyzet vagy Student *t*-próba segítségével határoztuk meg a vizsgálatoknak megfelelően. A különbséget statisztikailag szignifikánsnak tekintettük, ha $P < 0.05$ volt.

VIZSGÁLATOK

VANÁDIUM HATÁSA A CENTROMÉRA-SZÉTVÁLÁSRA

BEVEZETÉS

A centroméra-szétválás „normális” sorrendje ismert humán mitózisokban. Egy adott kromoszóma túl korai vagy túl késői szétválása triszómiához vagy monoszómiához vezethet, vagyis a sorrend megváltozása aneupoidiát okozhat, és a kromoszóma instabilitás egyik indikátora lehet. Jogosan vetődik fel a kérdés, vajon lehet-e ezt a jelenséget mutagén ágensekkel befolyásolni. Ismereteink szerint eddig kevés tanulmány foglalkozott ezzel a kérdéssel. Vizsgálatunk során a cytotoxikus ágensként jól ismert vanádium centroméra-szétválásra kifejtett hatását vizsgáltuk humán lymphocytákban.

ANYAGOK ÉS MÓDSZEREK

Perifériás vér lymphocytáiból rutin kromoszóma-preparátumokat készítettünk. A vanádium hatásának vizsgálatához a tenyésztés végén különböző koncentrációkban és különböző ideig 5%-os

NaVO₃-ot adtunk a kultúrákhoz az alábbiak szerint: 0,51, 1,02 és 2,56 μmol/ml, mindegyik 2,5 óráig, 2,56 μmol/ml 3 illetve 4 óráig, 5,12 μmol/ml 2,5 illetve 4 óráig, és 2,56 μmol/ml 6 óráig. Mivel 2,56 μmol/ml feletti vanádium koncentráció illetve 4 órán túli alkalmazás esetén a vanádium oly mértékben volt toxikus, hogy értékelésre alkalmas mitózisokat nem találtunk, ezért csak a legenyhébb illetve a legintenzívebb kezelésnek kitett, de még értékelhető mitózisokat tartalmazó kultúrákat vizsgáltuk tovább. Kontrollként ugyanazon vérminta szolgált, melyet vanádiummal nem kezeltünk. A mitotikus index meghatározása 5 különböző területen legalább 2000 sejt vizsgálatával történt és az észlelt mitózisok számát 1000 sejtre vonatkoztatva adtuk meg.

A szétválás könnyebb vizualizálása miatt a kromoszómákat nem sávoztuk, ami azzal a hátránnyal járt, hogy csak a főbb csoportok illetve azok jellegzetes képviselői voltak elkülöníthetőek. A centroméra-szétválás értékelése a korábban említett CSI segítségével történt.

1. Táblázat. A mitotikus index és a centroméra szeparációs index (CSI) vanádiummal kezelt lymphocita kultúrákban és a kontroll csoportban

	Kontroll	Vanádium-kezelt kultúrák	
		0,51 μmol/ml 2,5 óra	2,56 μmol/ml 4 óra
Mitotikus index (1/1000)	49.5	26.0 ^A	24.5 ^A
<u>CSI</u>			
Mitózisok száma	95	91	93
Kromoszóma vagy csoport			
1	0.11	0.15	0.08
2	1.00	0.99	1.00
3	0.47	0.51	0.47
4-5	0.61	0.60	0.58
6-X-12	0.50	0.56	0.52
13-15	0.00	0.01	0.01
16	0.02	0.08	0.03
17-18	0.97	1.00	0.93
19-20	0.45	0.50	0.44
21-22-Y	0.00	0.01	0.02

^Ap < 0.001 a kontrollhoz képest.

A CSI értékeinek különbsége a 3 csoportban statisztikailag nem szignifikáns..

EREDMÉNYEK

A három csoport eredményeit (legenyhébb és legintenzívebb vanádium-kezelés, valamint a kontroll) az **1. Táblázat** mutatja. A vanádiummal kezelt kultúrákban a mitotikus index szignifikánsan alacsonyabb volt a kontrollhoz képest. Két gap-et kivéve sem törést, sem egyéb strukturális aberrációt nem találtunk egyik csoportban sem.

A CSI értékei csaknem azonosak voltak a vanádiummal kezelt csoportok illetve a kontroll csoportban. Mivel az egyes kromoszómákat sávozás hiányában nem tudtuk azonosítani, így csak a kromoszóma csoportok átlagait tudtuk összevetni, melyek hasonló tendenciájú szeparációt jeleztek. A kontroll csoportban és a vanádiummal kezelt csoportokban is a 2-es, 17-es és 18-as kromoszóma korai szeparációját észleltük, míg az 1-es, 16-os és az akrocentrikusok utolsóként váltak szét. Ez a sorrend megfelelt különböző laboratóriumok korábban publikált megfigyeléseinek.

CYTOGENETIKAI VIZSGÁLATOK VELESZÜLETETT IMMUNHIÁNYOS GYERMEKEKBEN

BEVEZETÉS

Korábbi közlemények szerint a veleszületett immundeficienciák (ID) gyakrabban társulnak strukturális kromoszóma aberrációkkal. Ezek mellett néhány szindrómában az ID kromoszóma fragilitással való társulása figyelhető meg: ataxia telangiectasia, Bloom szindróma és Nijmegen breakage szindróma. Bizonyos kromoszómák centroméráinak instabilitása mellett ezen kromoszómák karjainak szomatikus rekombinációja és a többszörös elágazódások fokozott tendenciája is megfigyelhető a nemrég leírt ICF (Immunodeficiency, Centromeric heterochromatin instability and Facial anomalies) szindrómában.

A vizsgálat céljai:

- A kromoszómák számbeli és szerkezeti aberrációinak, valamint a korai centroméra-szétválás vizsgálata különböző ID-ban szenvedő gyermekekben.
- A kromoszóma instabilitás klasszikus jegyei (törés, gap, testvérkromatida-kicserélődés, dicentrikus ill. gyűrűképződés, stb.) és a korábban nem vizsgálat idő előtti centroméra-szétválás összefüggésének vizsgálata.

BETEGANYAG ÉS MÓDSZEREK

12, különböző veleszületett immunhiányos gyermek – 5 hypogammaglobulinaemia, 3-3 variábilis ID illetve IgA-hiány, valamint 1 septicus granulomatosis - (életkor: 7 hónap-11 év, fiú:leány arány 9:3) „rutin” lymphocyta-kultúráit hasonlítottuk egészséges kontrollokéhoz (n=6). A lymphocyta-kultúrák elkészítése a korábban leírt módon történt.

Az alábbi aberrációkat/jelenségeket regisztráltuk minden beteg legalább 60 mitózisában:

Hypo-, hyperdiploidia, gap, törések, strukturális eltérések (dicentrikus, gyűrűképződés, transzlokáció), a testvérkromatida-kicserélődés (Sister Chromatid Exchange, SCE) és a korai centroméra-szétválás (Premature Centromere Division, PCD) gyakorisága.

A kromoszóma instabilitás klasszikus jegyein (pl. strukturális eltérések, SCE) túl különös figyelmet fordítottunk a PCD vizsgálatára. A vizsgálat során mindent megtettünk, hogy a legobjektívebbek lehessünk, ezért a PCD vizsgálatát az alábbiak szerint egyszerűsítettük. A centroméra-szétválás sorrendjét nem határoztuk meg minden egyes mitózisban, hanem csak azoknak a metafázisoknak az arányát adtuk meg, ahol 3 vagy több teljes szétválás volt látható. Saját és irodalmi adataink alapján a rutin lymphocytákultúrák kevesebb, mint 4%-a tartalmaz csak ilyen metafázisokat.

2. Táblázat Kromoszóma törések, testvérkromatida-kicserélődés (SCE) és korai centroméra-szétválás (PCD) immunhiányos betegekben és kontrollokban

Betegek	Vizsgált mitózisok száma	Kromatida törés/sejt	Kromoszóma törés/sejt	SCE	Mitózis \geq 3 PCD (%)	PCD per mitózis (13-15 krom.)
Kontroll (n=6)	86	0,009	0,004	4,1 (2,1-6,0)	2,2 (1-4)	0,004
1.	70	0,014	0,014	4,6	4,2	0
2.	85	0,012	0	3,7	2,3	0
3.	76	0	0	-	2,6	0
4.	100	0,02	0,01	6,1	5,0	0,01
5.	70	0	0	4,4	2,8	0
6.	60	0,017	0	3,9	6,7	0
7.	66	0,061*	0,03	9,7	13,7*	0,182*
	100	0,1*	0,04*	11,6*	19,0*	0,210*
8.	100	0,01	0	-	2,0	0,10
9.	80	0,025	0,037*	8,5	22,5*	0,137*
	100	0,06*	0,02	7,9	17,0*	0,06*
10.	64	0	0,016	3,6	1,6	0
11.	75	0,013	0,013	4,5	4,0	0,013
12.	60	0,017	0	5,8	3,4	0,017

Mitózis \geq 3 PCD (%): Metafázisok aránya 3 vagy több teljes PCD-vel *p< 0,05

PCD per mitózis (13-15 krom.): A 13-15-as kromoszóma PCD-inek száma mitózisonként

EREDMÉNYEK

A **2. Táblázat** adatai szerint a kromoszómatörések, az SCE és a PCD frekvenciája hasonló volt a legtöbb immunhiányos gyermek kontrollal való összevetése során. Ugyanakkor a 7-es és a 9-es betegnél (hypogammaglobulinaemia és variábilis ID) a strukturális eltérések, az SCE és a PCD gyakorisága szignifikánsabb magasabb volt. Egy esetleges közelmúltban lezajlott infekciót, vagy gyógyszerhatást illetve a lymphocyta preparáció technikai hibájából eredő artefaktot kizárandó ezeket a vizsgálatokat 4-6 hónap múlva megismételtük, azonban hasonló eredményeket kaptunk. Ezeknél a gyermekeknél a kromoszóma instabilitás klasszikus jegyei és a PCD paralell jelenségnek bizonyultak. A vizsgált 12 immunhiányos gyermek egyikénél sem tudtunk ICF vagy egyéb más meghatározott szindrómát igazolni.

Ismeretes, hogy a szétválás értékelése nem mentes a szubjektivitástól. Mindazonáltal ennél a két betegnél nemcsak a PCD volt feltűnő, hanem az egyébként legkésőbb szétváló, nagy akrocentrikus kromoszómák gyakori szeparációját is megfigyeltük. Ezen D-csoportú kromoszómák szétválását normális esetben nem észleljük.

A CENTROMÉRA-SZÉTVÁLÁS OBJEKTÍV VIZSGÁLATA

BEVEZETÉS

Eddigi ismereteink alapján elfogadott tényként kezelhetjük, hogy az emberi mitotikus sejtek kromoszómáinak szétválási sorrendje genetikailag meghatározott jelenség. A sorrend megváltozása non-disjunctió révén aneuploidiához, malignitáshoz és egyéb, a kromoszóma instabilitáshoz kapcsolódó állapotokhoz vezethet. Ezirányú megfigyelések egyre növekvő száma ellenére a megváltozott centroméra-szétválás illetve a PCD pathogenetikai szerepét mégsem fogadták el széles körben. A módszer legfőbb kritikája, hogy a centromérák szétválásának mértékét fénymikroszkópos vizsgálat során szemmel állapítjuk meg, ami nem lehet sem pontos, sem objektív. Az alábbiakban egy egyszerű, számítógépes módszerről esik szó, mely lehetőséget biztosít a kromoszómák centroméráinak pontos távolságának meghatározására, valamint egy kereskedelmi forgalomban lévő képelemző szoftver segítségével a centromérák szétválásának mértékét is objektíven és pontosan tudja meghatározni.

ANYAGOK ÉS MÓDSZEREK

Perifériás lymphocyta tenyészetből készült rutin Giemsa festésű, jól értékelhető metafázisokat vizsgáltunk NIKON mikroszkóppal 400x-os nagyítás alatt. A mikroszkóphoz egy CCD kamerát csatlakoztattunk és a megfelelő látótereket számítógépre vittük át, majd a képek elemzéséhez az

NIH Image Version 1.55 programot használtuk. Az egyes kromoszómák szürke árnyalatos digitális képen való azonosítását követően a denzitás szelet opciót választottuk. Ezt követően a kromoszóma hossz tengelyére merőleges és mindkét centroméra közepén áthaladó vonalat húztunk és elkészítettük a vonal menti denzitásgörbét minden egyes kromoszóma esetén. A centroméra szeparációs távolságot a denzitásgörbe két centromérát reprezentáló csúcspontjai közti távolság adta. Ezt a távolságot pixelben illetve megfelelő kalibrációt követően mikrométerben is meg tudtuk jeleníteni. A képeket bináris módban (fekete-fehér) is elemeztük. Ennek során a testvérkormatidák közti szétválás még élesebben látszott, ugyanakkor a Giemzával festett centromérák finom denzitásbeli különbségei illetve a háttér szürke árnyalata elveszett. Mindazonáltal mind a szürkeárnyalatos, mind a bináris funkciók érdekes adatokat szolgáltatottak a centroméra-szétválás mértékéről.

EREDMÉNYEK

Öt egészséges, normális karyotípusú egyén (3 férfi) 15-20 mitózisát vizsgáltuk. Az összes mitózisban minden egyes kromoszóma esetén a centroméra szeparációs távolságot meghatároztuk és sorrendbe állítottuk őket azok szerint. A mérés gyors és objektív volt és a felállított sorrend megfelelt a korábbi közleményekben publikált „normális” sorrendnek, azaz a 2, 18, 17, 4, 5 és X kromoszóma korai szétváló volt, míg a 16-os és az acrocentrikusok utolsóként szeparálódtak.

A módszer előnyei nyilvánvalóak voltak egy Fanconi anaemiás betegnél a PCD meghatározásakor. Ebben az esetben teljesen intakt és részben szétvált kromoszómák mellett a nagy akrocentrikusok korai szétválása volt a legszembetűnőbb jelenség. Intakt kromoszóma esetén a denzitásgörbén csak egy csúcsot, részleges szétváláskor két különálló, de még összeköttetésben levő csúcsokat észleltünk, míg teljes PCD esetén a denzitásgörbe a két csúcs között a háttér-denzitás értékére csökkent le.

KROMOSZÓMA TÖRÉKENYSÉG ÉS KORAI CENTROMÉRA-SZÉTVÁLÁS COELIAKIÁBAN

BEVEZETÉS

A coeliakia 1-es típusú diabetes mellitussal és más autoimmun betegségekkel való gyakori társulása jól ismert. Ez és a coeliakiában észlelt magasabb rizikójú malignitás alapján felvetődik, hogy a háttérben egy esetleges genetikai instabilitás szerepet játszhat. Kezelt és nem kezelt coeliakiásokban a kromoszóma instabilitási vizsgálatok eredményei a korábbi tanulmányok szerint ellentmondásosak. A PCD korábbi vizsgálatok alapján a kromoszóma instabilitás egyik markere

lehet. A tanulmány célja a kromoszóma törékenység és a PCD vizsgálata volt coeliakiás gyermekekben.

BETEGANYAG ÉS MÓDSZEREK

Spontán és bleomycin indukált kromoszómatörékenységet és PCD-t vizsgáltunk 22 coeliakiás beteg 48 és 72 órás lymphocyta kultúráiban. Minden egyes esetben a coeliakia diagnózisát az ESPGHAN kritériumai alapján állítottuk fel. A fiú/lány arány 12/10, a betegek életkora 3-19 (átlag:12,59) év, míg a betegség fennállása 0-13 (átlag 5,9) év volt. Kontrollként 18 egészséges személy (9 fiú, 9 leány) hasonlóan elkészített lymphocyta kultúrái szolgáltak. Evvel párhuzamosan az endomysium-ellenes antitestet (EMA) is meghatároztuk és a diétára, lázas betegségre, oltásra és kromoszóma törékenységet okozó ártalmakra kérdőíveket töltöttek ki. A kérdőívek szerint sem lázas betegség, sem vakcináció illetve kromoszóma törékenységet okozó ártalom nem szerepelt a vizsgálatot megelőző 6 hétben egyik személynél sem. A gluténmentes étrend hatásának vizsgálatára 2 újonnan diagnosztizált és 5 nem diétázó coeliakiást is bevontunk a vizsgálatba.

Rutin 48 és 72 órás lymphocyta kultúrákat készítettünk perifériás vérből. A bleomycin kezelt kultúrák elkészítése a rutin kultúrákhoz hasonlóan történt, azzal a különbséggel, hogy a tenyésztés utolsó 5 órájában 30 µg/ml bleomycint adtunk hozzá. G sávosságú (kb. 400 sáv felbontású) lemezeket készítettünk karyotípus meghatározására minden személynél. A fennmaradó lemezeket csak Giemzával festettük és az alábbi jelenségeket regisztráltuk: kromatida vagy kromoszóma törés, átrendeződés, dicentrikus és gyűrűképződés. A végső értékeléskor csak a fenti aberrációkat hordozó mitózisok arányát adtuk meg, függetlenül az aberráció természetétől vagy mitózisonkénti számától. Mindez megfelel a korábban leírt bleomycin tesztnek. A 3 PCD-nél többet tartalmazó sejteket (PCD>3%) szintén regisztráltuk. 50-100 mitózist vizsgáltunk a 48 és 72 órás rutin és bleomycin kezelt kultúrából minden személy esetén és a kromoszóma aberrációkat és a PCD-t hasonlítottuk össze coeliakiás betegekben és egészségesekben.

EREDMÉNYEK

Minden karyotípus normális volt, azaz sem kromatida vagy kromoszómatörést, vagy átrendeződést vagy dicentrikus vagy gyűrűképződést nem találtunk. A rutin kultúrákban a spontán kromoszóma aberrációk száma nagyon alacsony volt (0-3% betegenként) és nem volt szignifikáns különbség a coeliakiás és kontroll csoportban. Bár a kromoszóma aberrációk szignifikánsan gyakoribbak voltak a bleomycinnel kezelt kultúrákban a rutinhoz képest mindkét vizsgálati csoportban, a coeliakiásokban és a kontroll csoportban nem volt szignifikáns különbség a spontán és a bleomycin indukált kromoszómatörékenység esetén (**3. Táblázat**).

3. Táblázat Kromoszóma aberrációk aránya rutin és bleomycin-kezelt kultúrákban (% , mean ± SD)

	Rutin		Bleomycin kezelt	
	48 óra	72 óra	48 óra	72 óra
Coeliakia (n=22)	0.38±0.74 ^A	0.1±0.29 ^C	42.2±11.68 ^A	34.7±16.56 ^C
Kontroll (n=18)	0.25±0.46 ^B	1.2±1.23 ^D	40.6±9.02 ^B	35.3±9.97 ^D

A,B,C,D = p<0.05

A PCD gyakorisága hasonlóan 0-5% közötti volt mind a kontroll mind a coeliakiás csoportban 4 lisztérzékeny beteg kivételével, akiknél ez az arány jóval magasabb, 8-23%-os volt.

**GASTROINTESTINÁLIS MALFORMATIÓK, TÁRSULÓ
RENDELLENESÉGEK ÉS AZ INTRAUTERIN NÖVEKEDÉS
VIZSGÁLATA ÚJSZÜLÖTTEKBEN**

BEVEZETÉS

Egyéb malformatiókkal ellentétben a gastrointestinális (GI) fejlődési rendellenességekkel kevés célzott tanulmány foglalkozott. Jelen munka célja a GI malformatiókhoz társuló fejlődési hibák és az intrauterin növekedési zavarok tanulmányozása volt klinikánk újszülött beteganyagában.

BETEGANYAG ÉS MÓDSZEREK

Az 1987-2000 közötti 14 éves periódusban a POTE Gyermekklinika Perinatalis Intenzív Centrumába felvett 4241 újszülött közül 278 (6,55%) újszülöttet ápolunk GI malformatio miatt. A GI malformatiók mellett a társuló fejlődési hibákat, az ismert kromoszóma rendellenességeket, illetve associációkat, valamint a születési súlyt és gestációs kort regisztráltuk. Dysmaturusnak tekintettük azokat az újszülötteket, akiknek a súlya a 10 percentilis érték alatt volt.

EREDMÉNYEK

241 újszülöttben, a Hirschsprung betegség és pylorus stenosis miatt ápolott betegeket nem számítva, összesen 304 GI malformatiót észleltünk. 108 újszülöttben izoláltan, míg 133 esetben multiplex fejlődési rendellenesség részeként észleltük az emésztőtraktus anomáliáját. Ezen utóbbi 133 betegből 27 esetben ismert szindrómát, míg 9 esetben associációt sikerült igazolni. A fennmaradó 97 betegben az összetett fejlődési rendellenesség háttérében meghatározott kórképet (szindrómát vagy associációt) nem találtunk. Ezen utóbbi betegekben a csontrendszert érintő rendellenességek voltak

a leggyakrabban társuló malformációk, melyek a cardialis és az urogenitalis fejlődési hibáknál is gyakoribbak voltak. GI fejlődési rendellenesség esetén a dysmaturitás aránya az átlag populációhoz mérten szignifikánsan magasabb volt ($P < 0,001$). A dysmaturus betegek aránya izolált fejlődési rendellenességként regisztrált GI malformatio esetén 38,9%, míg multiplex malformációk esetén 30,8% volt. Mivel koraszülött intenzív osztályunk tercier központként működik, így epidemiológiai következtetéseket a 4241 ápolat beteg kapcsán nem tudunk levonni.

MEGBESZÉLÉS ÉS A VIZSGÁLATOK GYAKORLATI KÖVETKEZMÉNYEI

1. Vanádium hatása a centroméra-szétválásra

A vanádium a sejtosztódás, különösen a kromoszómák mozgásának ismert inhibitora. A tanulmányban megfigyelt alacsony mitotikus index is ezt a gátló hatást tükrözi. Ugyanakkor a vanádium nem változtatta meg a centroméra-szétválás sorrendjét.

Gyakorlati következmények

- A. Különböző vanádium-vegyületek eltérő hatást gyakorolhatnak a sejt metabolizmusra, illetve a sejtosztódásra. Vizsgálatunk azt mutatja, hogy a Na-vanadát lelassítja a lymphocyta-kultúrában a sejtosztódást és csökkenti a mitotikus indexet.
- B. Korábbi tanulmányok szerint a sejtek tenyésztésekor a különböző tényezők, mint pl. a hőmérséklet, a táptalaj, a tenyésztési idő, a colchicin, a hypotoniás sokk és a calcium nem befolyásolják a centromára-szétválás sorrendjét. Az a tény, hogy a toxikus mennyiségű vanádium is ineffektív volt ebben a tekintetben szintén támogatja azt a véleményt, mely szerint a centromérák szétválási sorrendje genetikailag meghatározott jelenség és exogén faktorokkal nem lehet befolyásolni. A szétválási sorrendre ható lehetséges endogén és exogén tényezők további vizsgálata ennek alátámasztására mindenképpen szükséges.

2. Cytogenetikai vizsgálatok veleszületett immunhiányos gyermekekben

A 12 immunhiányos gyermekből 2 betegnél észleltünk kromoszóma instabilitásra utaló jeleket, melyeket nemcsak a klasszikus módszerek, hanem a PCD-t magas arányban hordozó metafázisok is jeleztek.

Gyakorlati következmények

- A. Megfigyeléseink alapján fontos hangsúlyozni, hogy a korábban „artefakt”-nak tekintett PCD könnyen felismerhető rutin kromoszóma preparátumokban. Ez a megfigyelés a későbbi kutatásokra jelentős kihatással van.

B. Ezek az adatok és a korábbi Fanconi anaemiás és ataxia teleangiectasiás betegekben tett megfigyelések szerint kifejezetten kóros szétválási sorrend és a túl korai szétválás a kromoszóma instabilitás jeleként értékelendő. Éppen ezért a kromoszóma instabilitás vizsgálatát indokolt a korai centroméra-szétválás elemzésével kiegészíteni.

3. A centroméra-szétválás objektív vizsgálata

A fénymikroszkóp és egy számítógépes képelemző program segítségével létrehozott egyszerű képelemző rendszert ismertetem, mellyel a centromérák szétválásának mértékét pontosan és objektíven meg lehet határozni.

Gyakorlati következmények

A módszer egyszerű, gyors és relatíve olcsó, feltéve, hogy a képelemző rendszer rendelkezésre áll. Segítségével pontosan és objektíven tudjuk vizsgálni a centromérák szétválását. Korábbi minták retrospektív vizsgálatát is lehetővé teszi, pl. családvizsgálatoknál, amikor a centromérák anomáliáit, mint a kromoszóma instabilitás egyik jelét keressük.

4. Kromoszóma törékenység és a korai centroméra-szétválás coeliakiában

A kromoszóma törékenységet vizsgálva az alkalmazott módszertől függetlenül nem találtunk szignifikáns különbséget a coeliakiás és a kontroll csoportban. A törékenység nem mutatott összefüggést a diétával, a betegség fennállásának időtartamával, az életkorral vagy a nemmel. A törékenységi tesztek nem igazoltak kromoszóma instabilitást coeliakiában. A néhány betegnél észlelt szokatlanul magas arányú PCD (8-23%) oka nem tisztázott, de a jelenség további vizsgálatokat igényel, különösképpen a glutén enteropathia és a malignitás kapcsolata miatt.

Gyakorlati következmények

Vizsgálataink *Kolacek és mtsai* megfigyelését támasztják alá, azonban a diéta ideje és a törékenység között összefüggést mi nem találtunk. Hasonló összefüggés a diéta és a PCD között nem zárható ki, ugyanakkor adataink evvel kapcsolatosan nem egyértelműek. Lehetséges, hogy az instabilitás különböző jelei eltérően manifesztálódnak ugyanazon betegségben, amint ezt Fundia korábban felvetette.

Az ellentmondások ellenére nagyon valószínű, hogy a klasszikus coeliakiához nem szükségszerűen társul kromoszóma törékenység. Két évvel később az előbbi feltevésünket igazolták *Kolacek és mtsai*. Vizsgálatuk szerint coeliakiás betegek peripheriás véréből izolált lymphocytáiban a kromoszóma aberrációk gyakorisága szignifikánsan csökkent gluténmentes étrenden. Álláspontjuk szerint a genom szintű instabilitás másodlagos jelenség, melyet valószínűleg a krónikus intestinalis gyulladás idéz elő.

Coeliakiás gyermekek további vizsgálata során 2 leányt találtunk, akiknek karyotípusa 45,X/47,XXX volt (Méhes et al. 2007). A coeliakia és a nemi kromoszómák aberrációjának társulása – főként az Ullrich-Turner szindróma – korábbi közleményekből jó ismert, azonban ezt a fajta mozaikosságot még nem publikálták korábban coeliakiás betegeknél.

Ezen megfigyeléseknek legalább két gyakorlati következménye van:

- A.** Turner szindrómás betegekben a coeliakiát szűrni kell és a pozitív esetekben vékonybélbiopszia javasolt. A fel nem ismert, illetve nem kezelt coeliakiában a malignus lymphomák és egyéb rosszindulatú daganatok kockázata jóval magasabb, mint a jól diétázó coeliakiásokban. Ezen felül a nem kezelt coeliakia akadályozza a növekedési hormon kezelést Turner szindrómában.
- B.** Coeliakiás betegekben klinikai gyanú esetén cytogenetikai vizsgálat elvégzése javasolt, különösen alacsony termetű leányokban.

5. Gastrointestinális malformációk, társuló rendellenességek és az intrauterin növekedés vizsgálata újszülöttekben

A vizsgálataink során észlelt gastrointestinális (GI) fejlődési hibák megoszlása megfelelt az irodalmi adatoknak. Az intrauterin növekedési elmaradás aránya az átlag populációhoz mérten jelentősen magasabb volt GI malformációk esetén. A társuló fejlődési hibák vizsgálatakor feltűnő volt, hogy a csontrendszeri malformációk gyakoribbak (45,4%) voltak a szív (41,2%) és az urogenitalis (31,9%) rendellenességekhez képest.

Gyakorlati következmények

A GI malformációk gyakran társulnak dysmaturitással és a leggyakoribb társuló rendellenesség a csontrendszert érinti. Ez a társulás, – melyet korábban nem publikáltak – további vizsgálatokat igényel. Végezetül hangsúlyozzuk, hogy a GI fejlődési rendellenességek kivizsgálása során a szív és az urogenitalis traktus vizsgálatát célszerű kiegészíteni a csontok vizsgálatával, hiszen a betegek csaknem felében ilyen eltéréseket igazoltunk.

ÖSSZEFOGLALÁS

Korábbi megfigyelések alapján kijelenthető, hogy a kromoszóma aberrációk, az immundeficiencia, a fejlődési rendellenességek, a malignitás, a spontán vetélés és a növekedési, érési zavar nemcsak önállóan fordulnak elő, hanem bizonyos esetekben átfedés lehet közöttük.

Nagy valószínűséggel nem specifikus genetikai instabilitás állhat a háttérben és annak különböző klinikai megnyilvánulásai a korábban említettek. Ezt a hypothesis-t nemcsak a korábbi hivatkozásokban említett közlemények, hanem jelen tézis megfigyelései és eredményei is támogatják.

Az alábbi témakörök átfedéseinek vizsgálatához járult hozzá jelen értekezés:

- A.** Kromoszóma aberrációk és immundeficiencia,
- B.** Kromoszóma aberrációk és coeliakia (autoimmun betegség),
- C.** Fejlődési rendellenességek és az intrauterin növekedési elmaradás.

A malignitás és a malformatiók átfedésének vizsgálatával kapcsolatosan egy, a tézisben nem részletezett munkánkra hivatkozunk (*Hadzsiev et al. 2006*). Prospektív, szisztematikus vizsgálatunk során a fejlődési rendellenességben szenvedő gyermekekben és családtagjaikban a malignus megbetegedések gyakoriságát vizsgálva szignifikánsabb több malignus betegségre derült fény a fejlődési rendellenességben szenvedő gyermekek nagyszüleiben a kontroll csoporthoz képest, ami a malignus megbetegedések magasabb rizikóját veti fel idősebb életkorban.

A centromérák sejtsztódásban betöltött szerepének széleskörű vizsgálata ellenére nagyon keveset tudunk a centroméra-szétválás szabályozásáról. A szétválási sorrendet irányító folyamatok szinte teljesen ismeretlenek számunkra. Ennek további vizsgálata közelebb vihet ahhoz, hogy megértsük ezt a folyamatot.

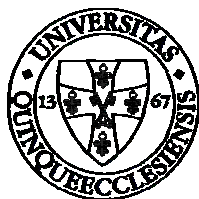
Végezetül fontosnak tartom megjegyezni, hogy a tézisben érintett kísérletes és klinikai vizsgálatok azt mutatják, hogy nehéz és izgalmas kérdések is vizsgálhatóak egyszerű módszerekkel, melyek eredménye további kutatások alapjául szolgálhat.

Irodalomjegyzék és köszönetnyilvánítás az angol nyelvű részben.

CYTOGENETIC INVESTIGATIONS IN
IMMUNOLOGICAL AND GASTROINTESTINAL
DISEASES AND MALFORMATIONS IN CHILDREN

PHD THESIS

ANDRÁS TÁRNOK, MD



Department of Paediatrics, Faculty of Medicine, University of Pécs

2009.

**CYTOGENETIC INVESTIGATIONS IN
IMMUNOLOGICAL AND GASTROINTESTINAL
DISEASES AND MALFORMATIONS IN CHILDREN**

PhD Thesis

András Tárnok, MD

Department of Paediatrics, Faculty of Medicine, University of Pécs

Programme leader: Dénes Molnár, MD, PhD, DSc

Tutor:

Károly Méhes, MD, PhD, DSc

2009.

ABBREVIATIONS

CD	Coeliac Disease
CSI	Centromere Separation Index.
EMA	anti-endomysium antibody
ID	Immunodeficiency
IgA	Immunoglobulin A
PCD	Premature Centromere Division
SCE	Sister Chromatid Exchange

INTRODUCTION

Mitosis is the process of eukaryotic cell division that leads to two identical daughter cells. Chromosomes are replicated during the S phase and condense into compact structures during prophase of cell division. Each of them consists of two identical sister chromatids held together by the centromere. In prometaphase and metaphase chromosomes are aligned along the metaphase plate of the spindle apparatus at the equatorial plane in the midline of the cell. Spindle fibers are bound to the kinetochores (structures associated with the centromere of each chromosome) and during anaphase the centromeres divide and the separated sister chromatids are pulled to the opposite poles by spindle fibers. By the end of cell division two daughter cells are produced with the same genetic component as the parent cell.

To prepare a standard karyotype any population of dividing cells providing metaphase cells is required. Most of the time blood is the sampled tissue as lymphocytes can easily be induced to proliferate, but other sources of tissue e.g. skin (cultured fibroblasts), bone marrow, amniotic fluid, chorionic villi, etc. also can be used when appropriate.

Routine technique for karyotype preparation – brief summary

1. A sample of blood is drawn and coagulation is prevented by addition of heparin.
2. Mononuclear cells are purified from the blood by centrifugation through a dense medium that allows red cells and granulocytes to pellet, but retards the mononuclear cells (lymphocytes and monocytes).
3. The mononuclear cells are cultured for 3-4 days in the presence of a mitogen like phytohemagglutinin, which stimulates the lymphocytes to proliferate madly.
4. Mitosis is arrested in metaphase by a solution of colchicine. At the end of the culture period, when there is a large population of dividing cells, the culture is treated with colchicine, which

disrupts mitotic spindles and prevents completion of mitosis. This greatly enriches the population of metaphase cells.

5. The lymphocytes are harvested and treated briefly with a hypotonic solution. This makes the nuclei swell osmotically and greatly aids in getting preparations in which the chromosomes do not lie on top of one another.
6. The swollen cells are fixed, dropped onto a microscope slide (forcing the chromosomes into a single plane) and dried.
7. Slides are stained after treatment to induce a banding pattern. When they are stained, the mitotic chromosomes have a banded structure that unambiguously identifies each chromosome of a karyotype. Without banding it is impossible to distinguish between among chromosomes.
8. Once stained slides are prepared, they are scanned to identify "good" chromosome spreads (i.e. the chromosomes are neither too long nor too compact and are not overlapping), which are photographed.
9. The photomicrograph is cut apart and the individual chromosomes are arranged into a definitive karyogram. Alternatively, a digital image of the chromosomes can be cut and pasted using a computer. If standard staining was used, the orderly arrangement is limited to grouping like-sized chromosomes together in pairs, whereas if the chromosomes were banded, they can be unambiguously paired and numbered.

Based on the size and shape of the chromosomes of a somatic cell human chromosomes are divided into 7 groups and sex chromosomes.

Centromere separation

Existence of a sequence

It is a crucial point of cell division when sister chromatids forming chromosomes are separated at the centromere and they move to daughter cells. Aisenberg was the first to report in 1935 that this separation is a non-random process. During the mid 70's Méhes and Vig independently published the sequence of centromere separation in human leukocytes. It was striking that chromosomes 2, 17 and 18 separated earlier and the acrocentric chromosomes did not show any signs of division when all others had already separated. Later on other teams joined this research, and centromere separation was investigated not only in different human cells but in other species, as well. Subsequent reports confirmed the original observations. As a result of this research the normal sequence of centromere separation was determined in humans.

Assessment of Centromere Separation

For the investigation of centromere separation a meticulous analysis of several hundreds or thousands of mitoses is required. Centromere separation can be assessed best on traditionally stained, non-banded chromosomes on the one hand, meanwhile on the other hand G-banding is necessary for the individual chromosomes to be clearly identified. This is a difficult and time consuming process to find late metaphases with clear separation of chromosomes which can be still identified by their G-banding patterns. Beyond the previously mentioned difficulties subjectivity in the assessment of centromere division also contributes to complexity when determining the separation order.

There are 2 methods used for the assessment of centromere separation:

1. Premature Centromere Division (PCD) introduced by Méhes is used to determine the susceptibility to too early (premature) separation. During analysis only mitoses showing not more than 3 complete separations are taken into account. Complete separation is considered to be present when no connection between the sister chromatids can be seen on microscopic examination. The number of separations for an individual chromosome in a large series is divided by the value calculated based on a “random” separation order. The result reflects the tendency for premature separation. (“Calculated value” is the total number of separations observed in 100 mitoses divided by 23.)

2. Vig introduced a scoring system called the **Centromere Separation Index (CSI)**.

By this method the centromeres that had not divided at all were given a score of 0, those that had just begun to separate scored as 1, and the ones showing clear separation, i.e. no connection between the sister chromatids, were scored as 2.

The scores obtained were pooled for individual pairs of chromosomes. These totals were then divided by the highest value in the series, providing relative values (CSI) against a given value of 1 for the earliest separating pair. The higher the CSI for a chromosome, the earlier was its position in the centromere separation sequence.

Based on repeated observations in different laboratories and despite all the difficulties in the assessment of centromere separation it is now proven and accepted that during metaphase in human mitotic cells chromosomes do not separate randomly.

Chromosomes 2 and 18 are the first to separate, followed by chromosomes 4, 5, X, 12, 3 and 17. Chromosomes 1, 7, 8, 9, 11, and 16 separate late and the large acrocentrics (13-15) are the last ones in this order.

The more marginal the position of a certain chromosome in the separation sequence the more accurately can its position be determined. On the other hand, when assessing chromosomes in the middle of the separation order uncertainty due to subjectivity has to be taken into account.

Consistency of Separation Sequence

When investigating separation sequence in different living beings sequences were found to be species-specific. Based on findings published so far the following factors have NO INFLUENCE on the separation order:

length of chromosome, position of centromere, size of heterochromatic part, time or temperature of incubation, type of medium used, colchicine treatment, type of hypotonic solution or process, drugs, radiation or gender.

The role of aging has not been unravelled yet. Based on species specificity and consistency it is highly likely that the sequence of centromere separation is a genetically determined, species-specific phenomenon unalterable by exogenous factors known to date.

Separation Sequence and Disorders – brief summary

It is well known that factors affecting cell division may cause chromosome injury and may disrupt chromosome pairing or migration. Chromosome aberration arising from this may serve as a basis for a latent or manifest disease which may be inherited in certain cases.

- 1) **Aneuploidy:** Alteration of centromere separation sequence may lead to non-disjunction causing aneuploidy. When investigating trisomic children and their parents a higher frequency of too early, too late or absent separation of that specific chromosome were reported.
- 2) **Structural abnormalities:** Too early or too late separation of chromosomes may occur with structural chromosomal abnormalities. Not only out-of-phase separation in subjects with chromosome deletion (13q14) and translocation (3p;19q) were reported but late separating fused D-group chromosomes (D/D fusions) as well.
- 3) **Carcinogenesis:** Chromosome aberrations play a crucial role in carcinogenesis. According to previously published papers altered centromere separation sequence may be an indicator for mutagenic effect therefore may play a role in carcinogenesis. Attention was called to the relationship between PCD, aneuploidy, mutagenic agents, chromosome breakage, immunological changes and malignancy. Altered centromere separation sequence was shown in several types of malignancy.

AIMS OF THIS THESIS

1. To investigate whether "normal" centromere separation sequence can be influenced or altered by an extrinsic factor such as vanadate which is well-known to affect cell division;
2. to introduce an objective method for analyzing centromere separation;
3. to investigate chromosomal abnormalities and premature centromere separation in children with congenital immunodeficiencies;
4. to investigate chromosome fragility and premature centromere division in children with coeliac disease;
5. and to investigate chromosomal abnormalities and associated congenital abnormalities in newborns with gastrointestinal malformations.

STATISTICAL ANALYSIS

All statistical analysis was performed using Excel or the Statistical Package for the Social Sciences (SPSS) for Windows 7.5, 8.0 and 11.5 softwares. Statistical significance of the differences between groups was evaluated using the Fisher's exact or Chi-square or Student's *t*-test when appropriate. Differences were considered to be statistically significant when probability values were smaller than 5% (i.e. $P < 0.05$).

INVESTIGATIONS

THE EFFECT OF VANADATE ON THE CENTROMERE SEPARATION SEQUENCE

INTRODUCTION

The existence of a "normal" sequence of centromere separation in human mitoses has repeatedly been described. Too early or too late separation may lead to trisomy or monosomy of the given chromosome, therefore alteration of the centromere separation sequence may lead to aneuploidy and may be an indicator of chromosome instability. This raises the question of whether this phenomenon can be influenced by mutagenic factors. To our knowledge only a few studies have dealt with this problem so far. In this study we made an attempt to analyze the centromere separation sequence in human lymphocytes exposed to vanadium, a well-known cytotoxic agent.

MATERIALS AND METHODS

Routine chromosome preparations of peripheral blood lymphocyte cultures were prepared. To

examine the effect of vanadate, 5% NaVO₃ was given to the cultures in various amounts and for various times in the following combinations: 0.51, 1.02 and 2.56 μmol/ml, respectively, each for 2.5 hours, 2.56 μmol/ml for 3 and 4 hours, 5.12 μmol/ml for 2.5 and 4 hours, and 2.56 μmol/ml for 6 hours. Since vanadate concentrations above 2.56 μmol/ml and exposures of more than 4 hours proved to be so toxic that the preparations contained no evaluable mitoses, only the lowest and highest exposures allowing normal mitoses were further investigated. Simultaneous cultures of the same blood sample not treated with vanadate served as controls. Mitotic indices were determined by counting at least 2,000 cells from 5 different fields and expressed as number of mitoses at any stage per 1,000 cells.

In order to see the separation more clearly, the chromosomes were not banded. This meant that only the main groups and the most characteristic individual chromosomes could be identified. The sequence of centromere separation was characterized by the centromere separation index (CSI) discussed previously.

Table 1. Mitotic index and centromere separation index (CSI) values in control lymphocyte cultures and in those of slight and intensive vanadate exposure

	Control	Vanadate-treated cultures	
		0.51 μmol/ml 2.5 hours	2.56 μmol/ml 4 hours
Mitotic index (1/1000)	49.5	26.0 ^A	24.5 ^A
CSI			
Number of mitoses	95	91	93
Chromosome or group			
1	0.11	0.15	0.08
2	1.00	0.99	1.00
3	0.47	0.51	0.47
4-5	0.61	0.60	0.58
6-X-12	0.50	0.56	0.52
13-15	0.00	0.01	0.01
16	0.02	0.08	0.03
17-18	0.97	1.00	0.93
19-20	0.45	0.50	0.44
21-22-Y	0.00	0.01	0.02

^Ap < 0.001 against control.

The differences in CSI values of the three groups are statistically not significant.

RESULTS

The findings in the three groups, i.e. low and high vanadate exposures and control, are summarized in **Table 1**. As shown by the figures, the mitotic indices were significantly lower in the vanadate-treated cultures than in the untreated controls. Apart from 2 gaps, no breaks and other structural aberrations were found in any of the slides examined. The relative CSI values for both the slight and heavy exposures are almost identical with those of the control group. Since individual chromosomes could not be identified, only the mean values of chromosome groups are given, which demonstrate very similar tendencies of separation. As in the controls, in the cells treated with vanadate chromosomes 2, 17 and 18 also showed very early division, whereas chromosomes 1 and 16 and the acrocentrics were the last to separate. This sequence corresponds to the findings of several earlier studies from different laboratories.

CYTOGENETIC INVESTIGATIONS IN CHILDREN WITH CONGENITAL IMMUNODEFICIENCIES

INTRODUCTION

In previous studies it has been reported that congenital immunodeficiencies (ID) are associated with a higher frequency of structural chromosome aberrations. In addition, a few syndromes combine ID with fragility of chromosomes - ataxia telangiectasia, Bloom's syndrome and Nijmegen breakage syndrome. Beyond centromeric instability of certain chromosomes somatic recombination of the arms of these chromosomes and a marked tendency to formation of multibranching configurations were also registered in the recently reported ICF (Immunodeficiency, Centromeric heterochromatin instability and Facial anomalies) syndrome.

The aims of this study were:

- To investigate numerical and structural abnormalities of chromosomes and premature centromere division in children with various type of ID.
- To determine if there is any correlation between classic features of chromosome instability (i.e. break, gap, sister chromatid exchange, dicentric, ring formation, etc.) and previously uninvestigated "out of phase" centromere separation.

PATIENTS AND METHODS

"Routine" lymphocyte cultures of 12 patients with different types of ID - hypogammaglobulinaemia 5, variable ID and IgA deficiency 3-3 each and septic granulomatosis 1, respectively - (age: 7

months-11 years, male:female ratio: 9:3) were analyzed and compared to healthy controls (n=6). These lymphocyte cultures were prepared according to the method described previously.

The following abnormalities/features were recorded in at least 60 mitoses of each individual:

Hypo-, Hyperdiploidy, Gap, Breaks, Structural abnormalities (dicentric, ring formation, translocation), Sister Chromatid Exchange (SCE) rate and Premature Centromere Division (PCD). Beyond the classic features of chromosome instability, like structural abnormalities and SCE, attention was focused on PCD. When analyzing data all efforts were made to be as objective as possible, therefore a simplification was made in PCD analysis. The centromere separation sequence was not determined in each mitosis, only the percentages of those metaphases are given in which 3 or more completely separated centromeres could be seen. Based upon literature and our previous data, fewer than 4% of routine lymphocyte cultures contain such metaphases.

Table 2. Chromosome breaks, sister chromatid exchange (SCE) and premature centromere division (PCD) in patients with immunodeficiency (ID) and in controls

Patients	Analyzed mitoses	Chromatid break/cell	Chromosome break/cell	SCE	Mitoses \geq 3 PCD (%)	PCDs per mitosis of chr. 13-15.
Controls (n=6)	86	0,009	0,004	4,1 (2,1-6,0)	2,2 (1-4)	0,004
1.	70	0,014	0,014	4,6	4,2	0
2.	85	0,012	0	3,7	2,3	0
3.	76	0	0	-	2,6	0
4.	100	0,02	0,01	6,1	5,0	0,01
5.	70	0	0	4,4	2,8	0
6.	60	0,017	0	3,9	6,7	0
7.	66	0,061*	0,03	9,7	13,7*	0,182*
	100	0,1*	0,04*	11,6*	19,0*	0,210*
8.	100	0,01	0	-	2,0	0,10
9.	80	0,025	0,037*	8,5	22,5*	0,137*
	100	0,06*	0,02	7,9	17,0*	0,06*
10.	64	0	0,016	3,6	1,6	0
11.	75	0,013	0,013	4,5	4,0	0,013
12.	60	0,017	0	5,8	3,4	0,017

Mitoses \geq 3 PCD (%): Percentages of metaphases with 3 or more complete PCD
PCDs per mitosis of chr. 13-15.: Number of PCDs of chromosomes 13-15 per mitoses
 *p< 0,05

RESULTS

As **Table 2.** shows, the frequencies of chromosome breaks, SCE and PCD were similar in most of the children with ID compared to healthy controls. However, in patients 7 and 9 (with hypogammaglobulinaemia and variable ID, respectively) significantly higher numbers of structural aberrations, SCE and PCD were found. To rule out the possible effect of a recent viral infection, drug effect or technical artefact during lymphocyte preparation these investigations were repeated after 4-6 months, and the findings were similar again. In these 2 children the classical features of chromosome instability and PCD were parallel. In this study neither ICF nor any other specific syndrome could be identified in any of the 12 children with ID.

It is well-known that subjectivity can not be eliminated when analyzing centromere separation. However, in these 2 patients not only PCD was noted. Frequent separation of the large acrocentric chromosomes, which are known to be among the last ones in centromere division, also was observed. Separation of these D-Group chromosomes is not seen normally.

OBJECTIVE ANALYSIS OF CENTROMERE SEPARATION

INTRODUCTION

The existence of a genetically determined sequence of centromere separation in human mitotic chromosomes seems to be established. Disturbance of this "normal" pattern may lead to nondisjunction, causing aneuploidy, malignancies and various conditions related to chromosomal instability. In spite of the increasing number of such observations, the pathogenetic role of altered centromere separation and PCD has failed to achieve a widespread acceptance, mainly because of the criticism that visual evaluation of the separation grade of a centromere (i.e. the sister chromatids) under the light microscope cannot be accurate and objective. Here we describe a simple computer-based method for the precise measurement of centromere distances within chromosomes by means of image analysis and public software that makes an objective and exact staging of centromere division possible.

MATERIALS AND METHODS

Well-spread metaphases of routine Giemsa-stained chromosome preparations of blood lymphocyte cultures were selected in a NIKON microscope using 400x primary magnification. The microscope was completed with a charge-coupled device camera. Appropriate fields were captured and transferred to a computer installed with the public NIH Image Version 1.55 program. After identification of individual chromosomes on the grey scale digital image, the density slice option

was selected. Within this, a line perpendicular to the longitudinal axis of the chromosome, exactly across both sister centromeres, was drawn on the monitor image and the density histogram (plot) of this line was created in each case by the software. Centromere separation distance could be obtained directly by measuring the length between the 2 density peaks representing the 2 centromeres. The distance between the separating centromeres could be given in pixels or in micrometers after setting the pixel/ micrometer ratio. Images were also analyzed in the binary (black and white) option. By using binary transformation of the image, the separation of the sister chromatids became even clearer, although the fine density differences corresponding to the centromere structure stained with Giemsa and the background grey level were lost. Thus, both grey scale and binary functions of the software gave interesting information concerning the stage of centromere division.

RESULTS

Some 15-20 mitoses of 5 healthy subjects (3 males) with normal karyotypes were analyzed. In each mitosis, the centromere separation distances of the individual chromosomes were compared with each other and aligned according to their separation grade. The measurement was quick and objective and resulted in a "normal" centromere separation sequence that was similar to that observed in earlier studies, i.e. chromosomes 2, 18, 17, 4, 5 and X divided early, whereas chromosome 16 and the acrocentrics were the last to separate.

The advantages of this method are obvious in the determination of PCDs in the mitoses of a patient with Fanconi anaemia. In this case, in addition to completely intact and partially divided chromosomes, PCD of the large acrocentrics is the most conspicuous finding. A single density peak can be found over the centromere of the intact chromosome; two separate peaks with an obvious connection are seen in the case of partial centromere separation, whereas a complete PCD is characterized by a density curve declining to the background level between the two peaks.

CHROMOSOME FRAGILITY AND PREMATURE CENTROMERE DIVISION IN COELIAC DISEASE

INTRODUCTION

The frequent association of coeliac disease (CD) with type 1 diabetes mellitus and other autoimmune diseases is well known. This and the increased risk of malignancy in CD raised the question of the possible role of genetic instability as an underlying condition. The results of previous studies regarding chromosome instability in treated and untreated coeliac patients are still controversial. Premature centromere division (PCD) was found to be a possible marker for

chromosome instability. The aim of our study was to investigate chromosome fragility and PCD in patients with CD.

PATIENTS AND METHODS

Spontaneous and bleomycin-induced chromosome fragility and PCD were determined in 48- and 72-hour peripheral blood lymphocyte cultures of 22 patients with CD. In all cases diagnosis of CD was established by ESPGHAN criteria. The male/female ratio was 12/10, ages were 3-19 yrs (mean: 12.5), and duration of disease was 0-13 yrs (mean: 5.9) in this cohort. Similarly prepared cultures of 18 healthy individuals (M/F ratio=9/9) served as controls. Simultaneously anti-endomysium antibody (EMA) was determined and a questionnaire regarding the diet, febrile illness, vaccination and exposure to conditions causing chromosome fragility was obtained. According to this questionnaire no febrile illness, vaccination or exposure to conditions causing chromosome fragility was registered within 6 weeks prior the investigation in any of the subjects. To estimate the effect of gluten-free diet, newly diagnosed patients (n=2) and non-compliant patients (n=5) were also enrolled.

Routine peripheral blood lymphocyte cultures with an incubation time of 48 and 72 hours were prepared. Bleomycin-treated cultures were prepared as routine cultures, with addition of 30 µg/ml bleomycin for the last 5 hours of incubation. A G-banded slide (resolution of approximately 400 bands) was made in each subject for routine karyotyping. The remaining slides were Giemsa stained only and the following abnormalities were registered: chromatid and chromosome breaks, rearrangements, and dicentric and ring chromosomes.

On final analysis only the percentages of mitoses with aberrations were registered irrespective of their nature or number per mitoses. This part of the study was in accordance with the bleomycin test described previously. Cell divisions demonstrating more than 3 PCD (PCD>3%) were also registered. For the assessment of these abnormalities 50-100 mitoses were evaluated in all subjects at 48 and 72 hours of incubation time in routine and bleomycin-treated cultures, respectively. Frequency of chromosome aberration and PCD was compared in coeliac patients and controls.

RESULTS

All the karyotypes were normal, i.e. no chromatid or chromosome breaks, rearrangements, or dicentric or ring chromosomes were identified. The number of spontaneous chromosome aberrations in routine cultures was found to be very low (between 0 to 3% in each patient) and no differences were seen between coeliac patients and controls. Though frequencies of mitoses with chromosome aberrations were significantly higher in bleomycin-treated cultures compared to

routine cultures in both patient groups, there was no significant difference between coeliac and control patients in spontaneous and bleomycin-induced chromosome fragility (**Table 3**).

Table 3. Percentages of mitoses with chromosome aberrations in routine and bleomycin-treated cultures (% , mean \pm SD)

	Routine		Bleomycin treated	
	48 hours	72 hours	48 hours	72 hours
Coeliac (n=22)	0.38 \pm 0.74 ^A	0.1 \pm 0.29 ^C	42.2 \pm 11.68 ^A	34.7 \pm 16.56 ^C
Control (n=18)	0.25 \pm 0.46 ^B	1.2 \pm 1.23 ^D	40.6 \pm 9.02 ^B	35.3 \pm 9.97 ^D

A,B,C,D = p<0.05

The frequency of PCD was similarly between 0-5%, in both the coeliac and control patients, although with a high rate of 8-23% in 4 coeliac patients.

ANALYSIS OF GASTROINTESTINAL MALFORMATIONS, ASSOCIATED CONGENITAL ABNORMALITIES, AND INTRAUTERINE GROWTH IN NEONATES

INTRODUCTION

In contrast with other malformations, congenital anomalies of the gastrointestinal tract have been scarcely investigated. The prevalence of gastrointestinal malformations with special reference to congenital abnormalities and their relation to intrauterine growth in neonates were analyzed.

PATIENTS AND METHODS

Among the 4,241 newborn infants treated during the 14-year period between 1987 and 2000 in the Neonatal Intensive Care Unit of the Department of Paediatrics, Faculty of Medicine, University of Pécs, 278 (6.55 %) had gastrointestinal malformations. We recorded associated congenital abnormalities, chromosomal abnormalities verified by 150-to 400-band karyotyping, malformation syndromes and associations, gestational age, and birth weight. As defined in previous studies, newborns with birth weights below the gestational age-specific 10th percentile were classified as small for gestational age.

RESULTS

In 241 neonates, excluding patients with Hirschsprung disease and pyloric stenosis, 304 gastrointestinal malformations were found. Gastrointestinal malformation alone was found in 108 patients, whereas in 133 cases it was observed as one of multiple anomalies. Of these 133 patients, a specific syndrome or association could be identified in 27 and 9 cases, respectively. Using cytogenetic investigations and evaluation of major and minor congenital anomalies, no classified syndromes or associations could be diagnosed in 97 patients. Skeletal disorders were the most frequently associated anomalies in these patients. Compared with the normal population, the frequency of intrauterine growth retardation was significantly increased ($P < 0.001$). The proportions of patients with intrauterine growth retardation were 38.9% and 30.8% in the isolated and multiple malformation groups, respectively. Because ours is a tertiary centre, no epidemiologic data could be calculated from the 4,241 newborns treated in the neonatal intensive care of our department.

DISCUSSION AND PRACTICAL CONSEQUENCES OF THE STUDIES

1. The effect of vanadate on the centromere separation sequence

Vanadate is regarded as an inhibitor of cell development and division, especially of chromosomal movement. The decreasing mitotic index values in the present study also referred to such an inhibition. At the same time, vanadate did not alter the sequence of centromere separation.

Practical consequences

- A. Different vanadium compounds may have different effects on cell metabolism and division. The present data show that Na-vanadate also is toxic in that it slows the division of cultured lymphocytes and lowers their mitotic rate.
- B. It has been shown in previous studies that various factors of cell culture and preparation, such as temperature, medium, culture time, colchicine, hypotonic shock, and calcium do not alter the sequence of centromere separation. The fact that even toxic levels of vanadate were ineffective in this respect provides further evidence for the suggestion that the centromere separation sequence is hardly at all influenced by environmental factors but rather is a species-specific, genetically determined phenomenon. On-going analysis of possible exogenous and endogenous factors influencing the separation sequence seems to be required.

2. Cytogenetic investigations in children with congenital immunodeficiencies

Two out of 12 children with ID showed signs of chromosome instability. This could be demonstrated not only by the classic methods but the high percentages of metaphases showing PCD, as well.

Practical consequences

- A. Based on the present findings it is important to stress that PCD – ignored as “artefact” previously – can be recognized effortlessly in routine chromosome preparations. This observation has a significant impact on future research.
- B. These data and our previous findings in Fanconi anaemia and ataxia teleangiectasia suggest that well-marked aberrant separation sequence and too early separation can be considered as a sign of chromosome instability. Therefore analysis of centromere separation should be integrated when investigating chromosome instability.

3. Objective analysis of centromere separation

Introduction of a simple digitalized image analysis system – by combining light microscopy and a PC based image analyzer software – is described that makes an objective and exact staging of centromere division possible.

Practical consequences

The method is simple, quick and relatively inexpensive, provided that an image analysis system is available. It offers an accurate and objective way to determine centromere division. It may also be utilized in retrospective analyses of old slides, e.g. in family investigations, in which centromere anomalies are sought as possible signs of chromosome instability.

4. Chromosome fragility and premature centromere division in coeliac disease

Irrespective of the method applied, no differences in the rate of chromosome breakage were found between coeliac patients and controls. Fragility was not correlated with diet, duration of gluten enteropathy, or age or sex of the patients. The fragility tests showed no chromosome instability in CD. The significance of unusually high frequencies of PCD (8-23%) observed in a few patients is not clear, but the phenomenon deserves further studies from the aspect of the relation of gluten enteropathy to malignancies.

Practical consequences

Our results support the findings of *Kolacek et al.* but did not show any correlation between the duration of diet and fragility. The same correlation can not be excluded between PCD and diet

although our findings are not consistent. It is possible that these different features of instability may manifest themselves differently in the same condition as suggested by Fundia earlier.

Despite discrepancies it is highly likely that classic gluten enteropathy is not necessarily associated with chromosome instability. Two years later our suggestion was confirmed by *Kolacek et al.* They found that frequency of chromosome aberrations in peripheral blood lymphocytes in CD patients decreased significantly on a gluten-free diet. According to their opinion genomic instability is a secondary phenomenon, possibly caused by chronic intestinal inflammation.

Continuing our investigation in children with CD we found 2 girls with 45,X/47,XXX karyotype (Méhés et al. 2007). Coeliac disease associated with sex chromosome abnormalities – especially with Ullrich-Turner syndrome – has been reported before, but this type of mosaicism in CD has not been published so far.

These findings have at least two implications:

- A. Screening for CD in patients with Turner syndrome should be performed and small bowel biopsy is recommended in positive cases. Undiagnosed and untreated CD has a much higher risk of malignant lymphoma and other neoplasms compared to that in CD patients following a strict gluten-free diet; in addition, untreated CD may impair growth hormone therapy in the affected patients.
- B. Cytogenetic investigation is warranted in CD patients if there is any clinical suspicion, especially in girls with short stature.

5. Analysis of gastrointestinal malformations, associated congenital abnormalities and intrauterine growth in neonates

The distribution of gastrointestinal malformations in this study was similar to that reported in the literature. The frequency of intrauterine growth retardation was significantly increased in patients with gastrointestinal malformations compared with the normal population. Analysis of associated anomalies found that an unexpectedly large number of skeletal disorders exceeded numbers of heart and urogenital malformations (45.4%, 41.2% and 31.9%, respectively).

Practical consequences

Gastrointestinal malformations are often associated with intrauterine growth retardation and mostly complicated by skeletal anomalies. The association among these disorders – not published before – requires further investigation. However, from a practical point of view, skeletal anomalies – beyond cardiac and urogenital disorders – should be sought in newborns with gastrointestinal malformations.

SUMMARY

According to previous observations chromosome aberration, immunodeficiency, malformation, malignancy, reproductive loss, altered growth and development do not exist on their own only. Instead various degrees of overlap exists among them in certain cases.

Most likely non-specific genetic instability may serve as a basis for these conditions resulting in different clinical manifestations. This hypothesis is supported not only by several references cited above but by the findings and results of this thesis, as well.

Contribution was made to the following areas:

- A. Overlap between chromosome aberrations and immunodeficiency,
- B. Overlap between chromosome aberrations and coeliac disease (autoimmune disease),
- C. Overlap between malformations and intrauterine growth retardation.

With respect to the overlap of malignancy and malformation, in a systematic analysis that we undertook (not discussed in this thesis), when prospectively screening children with malformations and their relatives for malignancies we found significantly more malignancies in grandparents of malformed children compared to controls, raising the possibility of increased risk for malignancy at a higher age (Hadzsiev et al. 2006).

Despite widespread investigations analysing the role of centromeres in cell division there is little knowledge about regulation of centromere separation. The processes controlling separation order are almost unknown. Further studies on this topic would enable us to understand the mechanisms of this process.

On a final note it is important to stress that experimental and clinical investigations presented in my thesis show that even difficult and exciting problems can be investigated by simple methods providing data for further research.

PUBLICATIONS

ARTICLES RELATED TO THE THESIS

- 1) **Tárnok A**, Méhes K, Kosztolányi Gy. No effect of vanadate on the centromere separation sequence.
Acta Biol Hung 1993;44(2-3):297-301. **IF:0,203**
- 2) Méhes G, **Tárnok A**, Pajor L, Méhes K. Objective analysis of centromere separation.
Hum Genet 1996;97:365-366. **IF: 2,445**
- 3) **Tárnok A**. Analysis of gastrointestinal malformations, associated anomalies and intrauterine growth in neonates.
Gyermekgyógyászat 2000;1:39-44. (In Hungarian with English abstract)
- 4) **Tárnok A**, Méhes K. Gastrointestinal malformations, associated congenital abnormalities and intrauterine growth.
J Pediatr Gastroenterol Nutr 2002;34:406-409. **IF: 2,078**
- 5) Bajnóczky K, **Tárnok A**, Horváth M, Ruzinkó V, Kosztolányi Gy, Méhes K. Coeliac disease is not associated with chromosome fragility.
Gyermekgyógyászat 2002;6:645-651. (In Hungarian with English abstract)
- 6) Hadzsiev K, **Tárnok A**, Kosztolányi Gy, Méhes K. Excess of malignancies in grandparents of children with malformations?
Acta Biol Hung 2006;57:137-140. **IF: 0,688**
- 7) Méhes K, Horváth M, **Tárnok A**. Celiac disease is relatively frequently associated with sex chromosome aberrations. (In Hungarian)
Orv Hetil 2007;148(4):187.

PUBLISHED ABSTRACTS RELATED TO THE THESIS

- 1) Méhes K, Gyurkovits K, Kosztolányi Gy, **Tárnok A**. Frühzeitige Zentromertrennung bei Kindern mit Immundefizienz.
Monatsschr Kinderheilk 1993;141(Suppl 1):S55 #P9. (In German) **IF: 0,194**
- 2) **Tárnok A**. Analysis of gastrointestinal malformations in neonates.
Z Gastroenterol 1999;37:458 #217. **IF: 0,857**
- 3) **Tárnok A**, Bajnóczky K, Ruzinkó V, Kosztolányi Gy, Méhes K, Horváth M. Chromosome fragility and premature centromere division in celiac disease.
J Pediatr Gastroenterol Nutr 2004;39(Suppl 1):S229 #P455 **IF: 1,764**

OTHER ARTICLES AND PUBLISHED ABSTRACTS

A. Original papers

- 1) Illés T, Than P, Kajtár P, **Tárnok A**, Bellyei Á, Kardos M. Changes in the treatment of osteosarcoma in our department.
Magy Traumatol 1997;5:375-383. (In Hungarian)
- 2) Méhes K, **Tárnok A**, Morava É, Sándor Gy, Antal I, Vermes É, et al. Investigation of health status of children living near Garé.
Népegészségügy 1998;4:3-7. (In Hungarian)
- 3) Adamovich K, **Tárnok A**, Szauer E. Successful treatment of right atrial thrombus secondary to central venous catheter.
Orv Hetilap 1999;140:1467-1470. (In Hungarian with English abstract)
- 4) **Tárnok A**, Vincze Á. Endoscopic ligation of oesophageal varices in childhood
Gyermekgyógyászat 2004;4:479-483. (In Hungarian with English abstract)
- 5) Veres G and participants of the Hungarian IBD registry. First year (2007) analysis of the Hungarian pediatric inflammatory bowel disease registry (HUPIR).
Gyermekgyógyászat 2008;5:282-287. (In Hungarian with English abstract)
- 6) Müller KE, participants of the Hungarian IBD registry and Veres G: Prevalence of extraintestinal manifestation in inflammatory bowel disease according to the Hungarian Pediatric IBD registry in 2008.
Gyermekgyógyászat 2010;1:15-21. (In Hungarian with English abstract)

B. Letter(s) to the Editor

- 1) **Tárnok A**, Koós Z, Domán I. Blount disease (tibia vara) in Bardet-Biedl syndrome.
Am J Med Genet 2003,123A:306–308.

IF: 2,334

C. Reviews and Editorials

- 1) **Tárnok A**. Epidemiology, diagnosis and treatment of H. pylori infection in childhood.
Gyermekorvos Továbbképzés 2003;1:48-54. (In Hungarian)
- 2) **Tárnok A**. Constipation in childhood.
Gyermekorvos Továbbképzés 2006;3:188-193. (In Hungarian)
- 3) **Tárnok A**. Therapeutic endoscopy in children.
Gyermekgyógyászat 2007;5:42-46. (In Hungarian with English abstract)
- 4) **Tárnok A**. Role of oligosaccharides in infant nutrition.
Gyermekorvos Továbbképzés 2007;4:227-229. (In Hungarian)

D. Published Abstracts

- 1) Horváth M, Weisenbach J, **Tárnok A**. Gallbladder disease in infants and children.
Z Gastroenterol 2000;38:408 #44. **IF: 0,887**
- 2) **Tárnok A**, Kabács Á. Prevalence of Helicobacter pylori infection in child communities of Pécs.
Z Gastroenterol 2001;39:424 #180. **IF: 0,803**
- 3) **Tárnok A**, Pintér A, Farkas A, Weisenbach J, Kustos Gy, Horváth L, Battyány I, Kalmár K. Haemobilia – cause of severe life-threatening gastrointestinal bleeding.
Z Gastroenterol 2002;40:360 #135. **IF: 0,837**
- 4) **Tárnok A**, Horváth M, Papp K, Szabó É, Jakobik V, Decsi T. Low contribution of eicosapentaenoic and dihomo-gamma-linolenic acids to plasma lipids in children with celiac disease.
J Pediatr Gastroenterol Nutr 2006;42(5):E18 **IF: 2,067**
- 5) **Tárnok A**, Knisely AS, Taylor RM, Dhawan A. Perivenular cell drop-out in paediatric liver transplant recipients: Outcome and prognostic implications.
J Pediatr Gastroenterol Nutr 2006;42(5):E72 **IF: 2,067**
- 6) **Tárnok A**, Mosdósi B, Berki T, Rózsai B, Stankovics J. Interleukin-2 receptor alpha-subunit deficiency and spontaneous perforation secondary to cytomegalovirus colitis.
Z Gastroenterol 2006;44:439 #144. **IF: 1,293**
- 7) **Tárnok A**, Talián GC, Jakobik V, Decsi T, Meleg B: Plasma carnitine concentrations and carnitine ester profiles in children with celiac disease..
Z Gastroenterol 2008;45:516 #114. **IF: 0,880**
- 8) Veres G, Papp M, Lakatos P, et al. First 2-year analysis of prospectively diagnosed patients with inflammatory bowel disease (IBD) in the Hungarian Pediatric IBD Registry (HUPIR)
J Pediatr Gastroenterol Nutr 2009;48(Suppl 3):E42-43 PG2-22 **IF: 2,132**
- 9) **Tárnok A**, Kasza G. Successful outcome of multiple arterial embolisation in a 16-year-old girl with ulcerative colitis.
Z Gastroenterol 2009;47:485 #104. **IF: 0,880**
- 10) Marosvölgyi T, **Tárnok A**, Szabó É, Decsi T. Fatty acid composition of plasma phospholipids in children with celiac disease and type-1 diabetes mellitus.
Acta Paediatrica 2009;98(Suppl 460):184 #474. **IF: 1,517**

ACKNOWLEDGEMENTS

I would like to express my gratitude to the following people who have provided me with help, advice and support that have contributed to the completion of this thesis.

Firstly, I would like to express my gratitude to Professor Méhes Károly – the former Head of Department of Paediatrics – who invited me as a medical student to join his research group. He inspired and sustained my interest in cytogenetics, and provided me with hints and advice for research and continuous support. Unfortunately he could not live to see this thesis completed.

I am extremely grateful to my programme leader and supervisor, Professor Molnár Dénes for giving his advice, support and intellectual help, who greatly encouraged me to write this thesis and for the critical reading of the manuscript.

To Professor Kosztolányi György, who helped me a lot when starting genetic studies and was always willingly helpful in solving the problems arisen.

To Professor Soltész Gyula, the former Head of Department of Paediatrics, for his support, criticism and readiness to help.

To Horváth Magdolna, the former Head of Gastroenterology at the Department of Paediatrics, for her support and contribution and for allowing me to continue my research.

To Professor Decsi Tamás, for his professional help and advice.

To all the co-authors of the various publications they have contributed to.

To Schrempf Mária for her invaluable technical contribution in cytogenetic studies, and lab work.

To all of my co-workers at the Department and the collaborating institutes for their valuable contribution.

To everyone else who assisted my work scientifically or in other ways over the years.

Without the love and support from my family during my whole life none of this would have been possible, and for that I shall be eternally grateful.

Finally, I would like to thank my very patient wife, Veronika, and my little sons, Hunor and Donát for their love, support and understanding even in hard times.